# 補強材料が粒度調整砕石内に敷設された補強材の引抜き特性に及ぼす影響について

鉄道総合技術研究所 正会員 ○栗山 亮介 渡辺 健治 複合技術研究所 正会員 木口 峰夫

# 1. はじめに

著者らはインテグラル橋梁と側壁背面の補強土構造を一体化させたジオシンセティックス補強土一体橋梁(以下,GRS 一体橋梁)の開発を行ってきた<sup>1)</sup>. GRS 一体橋梁の設計では,ジオグリッド(以下,補強材)の引抜剛性および引抜強度が必要である.しかしながら,粒度調整砕石内に敷設された補強材の引抜剛性は明らかになっていない. 著者らは拘束圧が粒度調整砕石内の補強材の引抜剛性に影響を及ぼすことを確認した<sup>2)</sup>. 本論文では気中で実施した引抜試験によって求めた剛性(以下,気中剛性)が異なる補強材を用いて,粒度調整砕石内に敷」設された補強材の引抜試験を行い,補強材の引抜剛性と引抜強度の検証を行った.

## 2. 試験概要

## 2.1 試験体

本試験は図1に示す土槽を用いて、粒度調整砕石による模型地盤を作製し、地盤高さ中央付近に幅139mm長さ1000mmの補強材を埋設した。表1に補強材概要および試験ケースを示す。本試験(case3,4)は引抜強度について確認するため、拘束圧が低い場合を想定した引抜試験を行った。また、既往の実験(case1,2)20では引抜強度に達しても、補強材が引抜けず破断したことから、本試験では破断強度の高い補強材を用いて、引抜強度の検証を行った。粒度調整砕石はM40を使用し、地盤が密になるように作成した(締固め密度比87%)。また、奥行き方向への補強材張力の到達深さを確認するため、土槽端部から50,150,350,500,650mmの位置にひずみゲージを中央の

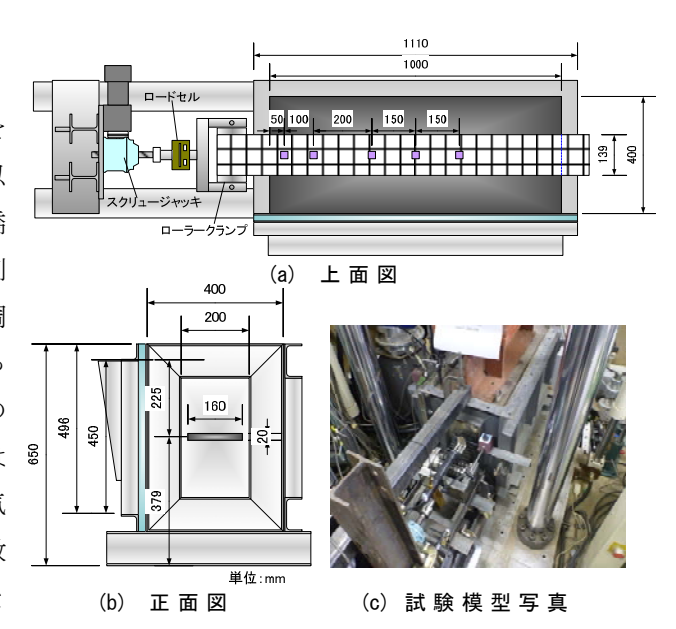


図 1 試験模型概要図

表 1 補強材概要

	主材	設計基準 破断強度 Tk(kN/m)	気中剛性(材料 マニュアル) (kN/m)	目合い(mm)	上載圧(kPa)	計画最大荷重	備考
case1	ビニロン繊維	38	200	20 × 20	100	破断強度 (38kN/m)	既往の 実験
casa2						引抜強度 (20kN/m)	
case3	ナイロン66繊 維	101	290	15×23	10	引抜強度 (28kN/m)	今回の
case4	ビニロン繊維	106	980	20×20	10	引抜強度 (28kN/m)	実験

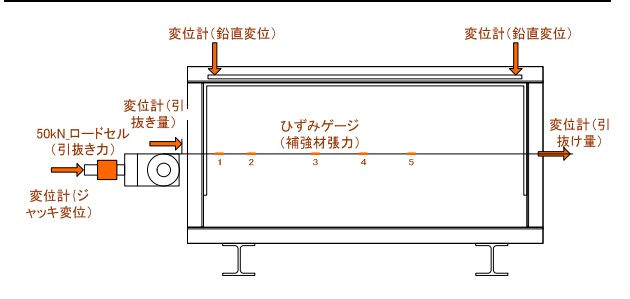


図 2 計測器配置図

ストランドに貼付した. 図 2 に計測器配置図を示す. 計測は補強材の引抜き力, 作用方向の引抜き量, 補強材のひずみ, 土槽背面からの補強材の引抜け量を測定した.

### 2.2 試験方法

本試験ではスクリュージャッキにより一定の載荷速度で引抜き変位を与え、載荷速度は1mm/minとした.計画最大荷重は設計破断強度と地盤からの引抜強度の小さい方とし、地盤からの引抜強度で決定した.図3に荷重載荷履歴の概要図を示す.本試験は繰返し載荷を行い、各段階の繰返し回数は3回とし各段階における最大荷重で60分、除荷時で5分の荷重保持を行った.除荷時は300Nの荷重を保ち補強材のゆるみを防いだ.本試験では補強材の破断あるいは地盤からの引抜けが完全に生じるまで行うこととした.

キーワード:補強材,粒度調整砕石,引抜剛性,引抜強度

連 絡 先: 〒185-8540 東京都国分寺市光町 2-8-38 鉄道総合技術研究所 TEL: 042-573-7261

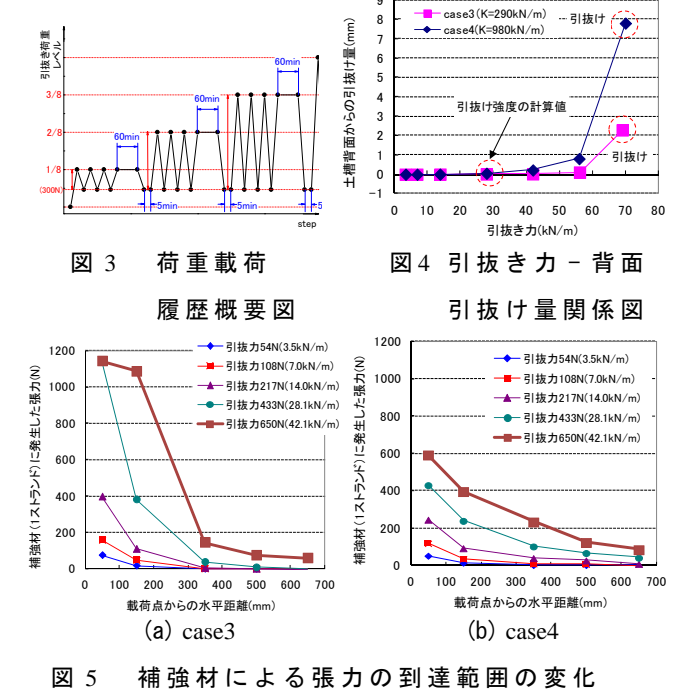
## 3. 試験結果

図4に引抜き力と土槽背面からの補強材の引抜け量の関係を示す.盛土材料の内部摩擦角および盛土内の拘束圧から算出した補強材の引抜強度の 28kN/m 付近で土槽背面からの引抜け量が増加したが Case3,4 ともに引抜強度で補強材が引抜けず、引抜き力が 70kN/m 付近で土槽背面から補強材が引抜けた. 気中剛性が高い Case4 の方が引抜け直前までの引抜け量が大きくなった. 引抜強度は計算値より実験値の方が約 2.5 倍大きいことから、補強材の引抜強度は表面の摩擦だけでなく、補強材の目合いにおける土粒子のかみ合わせによって発揮されていることが考えられる.

図5に補強材による張力の到達深さについて示す. Case3 は引抜き力が増加しても、 Case4 よりも補強材 張力が地盤内の補強材に伝達されにくく、載荷点近傍 で抵抗力が発揮されることを確認した. これは、気中剛性が高い Case4 は Case3 よりも補強材が伸びにくく、補強材全体に張力が伝達したためと考えられる. しかし、引抜力 650N の段階では Case3,4 ともに補強 材張力の到達深さは載荷点から約650mmとなった.

図 6 に引抜き力 - 引抜き変位量の関係を示す. 補強材の引抜き剛性は各段階における 3 回目の繰返し載荷時の引抜き力と引抜き量の勾配を用いた. その結果, 気中剛性が低い Case3 の方が粒度調整砕石内の補強材の引抜剛性が低いことを確認した.

図7に補強材の引抜剛性と引抜き荷重の関係図を示す. 粒度調整砕石内に敷設された補強材の引抜剛性は地盤の拘束効果の影響により, 気中剛性の計算値よりも高くなったが, 気中剛性が高い Case4 の方が地盤の拘束効果が大きいことを確認した. これは図6に示し



(b) case4

引抜き量 D (m)
(a) case3

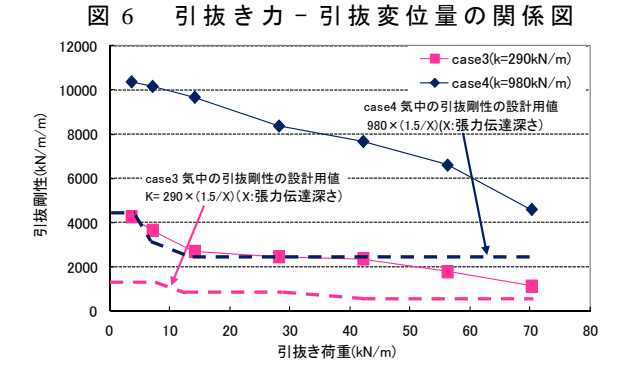


図 7 引抜剛性 - 引抜き荷重関係図

たように同一の荷重レベルにおいて Case3 の補強材引抜き量は Case4 よりも大きく補強材周辺の地盤が乱れたために、地盤の拘束効果が低くなったと考えられる.これは実験後の補強材周辺の観察でも確認された.

### 4. まとめ

- ・地盤の剛性に比して補強材の剛性が低い場合,引抜き荷重が小さくても載荷点付近の引抜き変位量が大きくなるが,張力は載荷点付近から深く伝達されず,限られた範囲における補強材と地盤間の摩擦抵抗および目合いにおけるかみ合わせによって抵抗力が発揮されることを確認した.
- ・引抜き荷重の増加に伴い、載荷点付近から補強材周辺の地盤が乱れていき、補強材と地盤間の抵抗力が減少することによって補強材張力がより深く伝達していると考えられる。気中剛性が低い場合、この影響が顕著であるため、地盤の拘束効果が小さくなったと考えられる。
- ・今回の実験条件では気中剛性に関わらず、補強材の引抜強度は計算値の約2.5倍であることを確認した. 参考文献 1) 永谷達也、田村幸彦、飯島正敏、舘山勝、小島謙一、渡辺健治:GRS一体橋梁(実物大試験)の施工と動態計測、ジオシンセティックス論文集、Vol24、pp219-226、2009.12 2) 栗山亮介、須賀基晃、渡辺健治、神田政幸: 粒度調整砕石内に敷設された補強材の引抜き特性について、第66回年次学術講演会、2011.9